

# 激烈한 荒天中에서 避航操船에 關한 理論的인 研究

A Theoretical Study on Safe Manoeuvering in  
Seriously Heavy Weather



## Abstract

## Nomenclature

## I. 序論

## II. 理論

1. 不規則海面

2. Wave spectrum

3. Encountering wave spectrum

4. Responses amplitude operator

5. Response spectrum

## III. 數值計算

## 1. 假定

2. 計算에 使用된 Sample 船舶

3. 橫搖計算

4. 縱方向 Wave-induced bending

moment 및 Stress 計算

## IV. 數值計算 結果에 對한 考察

1. 船種別 橫搖特性

2. 船種別 應力에 對한 考察

## V. 結論

參考文獻

## Abstract

It is appeared that modern merchant vessels have inherent defects when considered from the viewpoint of safe manoeuvering in heavy weather.

In general, ship owners are inclined to take consideration of cost in term of ship's structure or structural strength in persuit of ultimate business goal i.e. maximization of their interests, which in turn makes it difficult to ensure ship's safety in structural aspect in heavy weather.

On account of this incompatibility on the course of ship building, incomplete vessels lacking in strength are built unavoidably and the defect in structural strength must be compensated by proper seamanship in heavy weather. Foreign studies on ship manoeuvering in rough seas have not made a certain limit of rough seas in which defensive manoeuvering should be exerted. Irregular seaways were analyzed and expressed by means of Theoretical Rayleigh Distribution in this paper. Ship motions on irregular seaways were computed by applying Response Amplitude Operator and Strip Theory to that Rayleigh Distribution at sea state of each Beaufort Scale.

Finally the calculation results were classified into several categories of sea state to suggest a criteria or limit of sea state in which proper seamanship must be exerted and following conclusions are drawn.

- 1) Large vessels are inclined to cause structural failure than subversion.
- 2) Container ships and log carriers are to avoid "Head-sea" from 6 and 7 of wind speed on Beaufort Scale respectively.
- 3) In general, large vessels are to maintain "Heave-to" from 7 or 8 of wind speed on Beaufort Scale.
- 4) From 9 of wind speed on Beaufort Scale, large vessels, generally, are to manoeuver at Quartering-sea or Scudding.
- 5) In general, the container vessels of high Breadth to Length ratio, enter the dangerous stress region earlier and shows sudden large rolls in heavy seas than other type of ships.
- 6) Log carriers, laden full, shows smaller rolls and longer rolling period in any sea state ordinarily, however once they have began to roll to some degree, it causes sudden and larger rolls than others.

### Nomenclature

- L : Ship's length
- B : " breadth
- T : " draft
- V : " speed
- $\bar{GM}_T$  : Transverse metacentric height
- $W_w$  : Circular frequency of absolute wave
- $W_e$  : Circular frequency of encountering wave
- $S_\zeta(W_w)$  : Spectral density of absolute wave spectrum
- $S_\zeta(W_e)$  : Spectral density of encountering wave spectrum
- $S_\zeta(W_w, \mu_w)$  : Two-dimensional spectral density
- $m_e$  : Wave Energy spectrum area
- $\mu$  : Heading angle
- $\mu_\phi$  : Magnification factor for rolling
- $\mu_w$  : Encountering wave angle
- $f(\mu_w)$  : Spreading function
- $I_{xx}$  : Mass moment of inertia for rolling
- $I'_{xx}$  : Virtual mass moment of inertia for rolling
- $K_{xx}$  : Radius of gyration for rolling
- $L_w$  : Wave length from crest to crest
- $\rho$  : Seawater density
- $g$  : Gravity acceleration

$\zeta_a$  : Wave amplitude

$(M_w)_a$  : Wave induced longitudinal bending moment amplitude

$(\phi)_{st}$  : Static rolling amplitude

$\Lambda$  : Tuning factor for rolling

K : Nondimensional damping coefficient for rolling

$\Delta$  : Actual displacement

$\Delta'$  : Virtual mass

$\phi_s$  : Rolling amplitude

$M_s$  : Static longitudinal bending moment

$\sigma_w$  : Stress by longitudinal wave induced bending moment

$\sigma_s$  : Stress by longitudinal static bending moment

$\sigma_f$  : Stress by green water flooding effect

$\sigma_i$  : Stress by slamming effect

$T_s$  : Rolling period in still water

$W_\phi$  : Natural frequency for rolling

$H_e$  : Designed wave height

a : Inertial force coefficient for rolling

b : damping force coefficient for rolling

$b_n$  : damping coefficient for nth unit length for rolling

$B_n$  : Water line breadth for nth section

$C_w$  : Water plane area coefficient

$K_{yy}$  : Radius of gyration for pitching

- $S_{BM}$  : Bending moment spectrum area
- $Z$  : Section Modulus
- $M_t$  : Total bending moment
- $(\phi)_{ave}$  : Average roll amplitude
- $(\phi)_{\frac{1}{3}}$  : Average of one-third highest roll amplitude
- $(\phi)_{\frac{1}{10}}$  : Average of one-tenth highest roll amplitude
- $(\phi)_{\frac{1}{100}}$  : Average of one-hundredth highest roll amplitude
- $(BM)_{ave}$  : Average of bending moment
- $(BM)_{\frac{1}{3}}$  : Average of one-third highest bending moment amplitude
- $(BM)_{\frac{1}{10}}$  : Average of one-tenth highest bending moment amplitude
- $(BM)_{\frac{1}{100}}$  : Average of one-hundredth highest bending moment amplitude
- $(\sigma)_{ave}$  : Average of stress amplitude
- $(\sigma)_{\frac{1}{3}}$  : Average of one-third highest stress amplitude
- $(\sigma)_{\frac{1}{10}}$  : Average of one-tenth highest stress amplitude
- $(\sigma)_{\frac{1}{100}}$  : Average of one-hundredth highest stress amplitude

## I. 序論

오늘 날의 商船은 安全運航이라는 側面에서 볼 때에 建造時부터 問題點을  
안고 있는 것으로 보인다.

즉 船主의 利潤을 極大化한다는 企業 固有의 目的에 附合하기 為하여  
는 可能한 限 船體의 構造 또는 強度의 面에서 經濟性을 考慮치 않음  
수 없으며 經濟的인 面만을 重視하면 安全性의 確保가 어려워 진다는



## I. 序論

오늘날의 商船은 安全運航이라는 側面에서 볼때에 建造時부터 問題點을 안고 있는 것으로 보인다.

즉 船主의 利潤을 極大化한다는 企業 固有의 目的에 附合하기 為하여는 可能한 限 船體의 構造 또는 強度의 面에서 經濟性을 考慮치 않음을 수 없으며 經濟的인 面만을 重視하면 安全性의 確保가 어려워 진다는 점이다.

船舶建造에 있어서의 이러한 兩面性때문에 結果的으로 強度上 不完全한 船舶이 建造되는 것은 必然的이며 荒天航海時候는 이러한 船體強度上의 脆弱點을 適切한 操船方法에 의하여 補完시켜 줘야 하는 것이다.

荒天航海와 關聯한 操船方法에 대하여는 아직 外國의 研究事例에 있어 서도 荒天에 따른 明確한 操船方法을 제시하지 못하고 있고 또한 어떤 해난관계 심판이나 재판에서도 摘船方法에 關한 明示된 判例도 없다.

本 論文에서는 不規則海面을 Rayleigh 分布로써 把握한 뒤 Response Amplitude Operator 및 Strip Theory를 適用하여 每 Beaufort Scale에 對應하는 海面에서의 船體運動을 計算하였다. 그리고 그 結果를 海面의 荒天에 따라 分類하고 海面의 狀態에 따른 荒天操船方法을 段階別로 提示하였다.

- $S_{BM}$  : Bending moment spectrum area
- $Z$  : Section Modulus
- $M_t$  : Total bending moment
- $(\phi)_{ave}$  : Average roll amplitude
- $(\phi)_{\frac{1}{3}}$  : Average of one-third highest roll amplitude
- $(\phi)_{\frac{1}{10}}$  : Average of one-tenth highest roll amplitude
- $(\phi)_{\frac{1}{100}}$  : Average of one-hundredth highest roll amplitude
- $(BM)_{ave}$  : Average of bending moment
- $(BM)_{\frac{1}{3}}$  : Average of one-third highest bending moment amplitude
- $(BM)_{\frac{1}{10}}$  : Average of one-tenth highest bending moment amplitude
- $(BM)_{\frac{1}{100}}$  : Average of one-hundredth highest bending moment amplitude
- $(\sigma)_{ave}$  : Average of stress amplitude
- $(\sigma)_{\frac{1}{3}}$  : Average of one-third highest stress amplitude
- $(\sigma)_{\frac{1}{10}}$  : Average of one-tenth highest stress amplitude
- $(\sigma)_{\frac{1}{100}}$  : Average of one-hundredth highest stress amplitude

## II. 理 論

### 1. 不規則海面 ( Irregular Seaway )

波濤의 船體運動을 考察하기 為하여는 우선 船體運動에 直接的인 影響을 미치는 波濤 그 自體에 對한 正確한 理解를 必要로 한다.

그러나 實際的인 問題로서, 海上에서 船體運動을 일으키는 波는 規則的 한 形態를 갖는 Sinusoidal Wave가 아니고 그 波長, 週期, 振幅이 時間 과 變所에 따라 變化無窮한 簡하 不規則的인 波이다.

이러한 海面狀態를 完明하는 데에는 Wave spectrum이 使用된다. 標準 Wave Spectrum의 種類에는 ISSC (國際船體構造會議) Spectrum, JONSWAP (北高會同觀測計劃) Spectrum, ITTC (國際試驗水槽會議) Spectrum等이 있으나 本 論文에서는 ITTC Standard Spectrum을 利用하였다.

### 2. Wave Spectrum

實際의 海面은 평화 時刻에 以及 極히 不規則의 波形으로 이루어져 있으나 一般의 海面은 0에서  $\infty$ 까지의 各種의 Wave Frequency를 갖는 要素波를 가集成되어 있는 特性을 具有하니 또한 一定한 氣象狀態下에 있는 한 이 要素波들의 幅值과 高さ는 Energy의 합은 一定한 것이다. 그리하여 一般의 주어진 海面의 各要素波의 Energy는  $\frac{1}{2} \rho g \zeta_s^2$  으로 表現되므로 이를 모든 Wave Frequency에 對하여 그림 II. 2. 1의 Energy Spectrum으로 나타내어지며 여기에서 總抽의 強度를  $\rho g$ 로 나눈  $\frac{1}{2} \zeta_s^2$  強度로 表現한 것이 그림 II. 2. 2의 Wave Spectrum이다.

그림 II.2.2 의 Wave Spectrum의 面積을  $m_0$  라고 할때,

$$m_0 = \int_0^{\infty} S(\zeta) (W_w) dW_w \dots \dots \dots \quad (\text{II.2.1})$$

가 되며  $\rho g m_0$  는 Total Energy이다.

그림 ( II.2.1 )

Wave Energy Spectrum

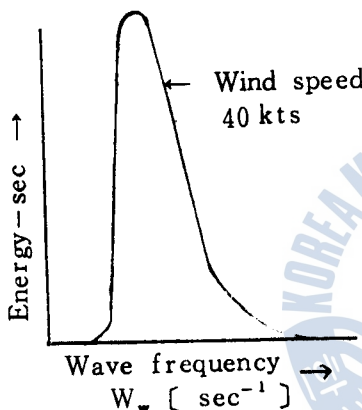
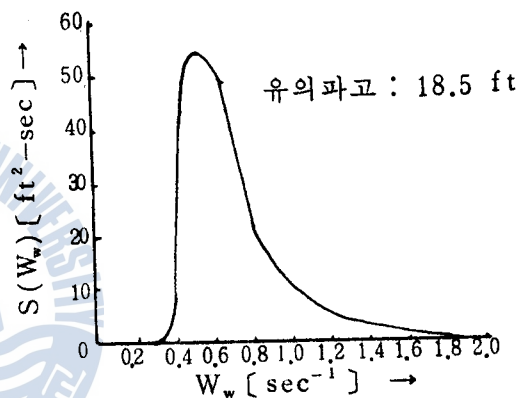


그림 ( II.2.2 )

Wave Spectrum



또한 많은 Wave Record 들에 의한 經驗的인 結果는 Wave Height의 Wave Frequency Distribution 은 理論的인 Rayleigh 分布를 이루고 있음이 밝혀졌으므로 이때  $m_0$  와 Wave Amplitude 또는 Height ( Double Amplitude ) 와의 關係는 表 II.2.1 과 같다.

<표 II.2.1 >

Waves	Amplitude	Height
Average Wave :	$1.25 \sqrt{m_0}$	$2.5 \sqrt{m_0}$
Average of one-third highest waves :	$2.00 \sqrt{m_0}$	$4.00 \sqrt{m_0}$

Wave	Amplitude	Height
Average of one - tenth highest waves :	$2.55 \sqrt{m_0}$	$5.09 \sqrt{m_0}$
Average of one - hundredth highest waves :	$3.34 \sqrt{m_0}$	$6.67 \sqrt{m_0}$

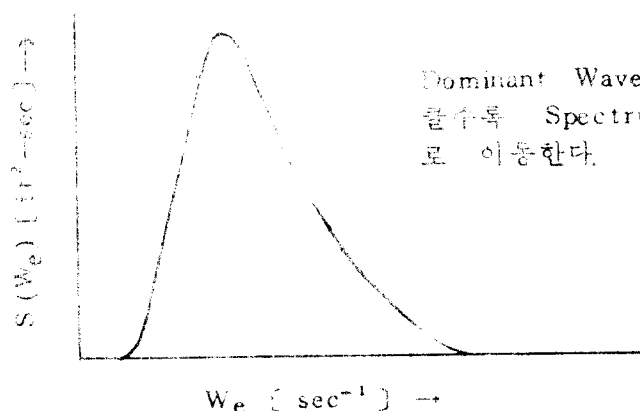
### 3. Encountering Wave Spectrum

그림 ( II.2.2 ) 의 Wave Spectrum은 Absolute Wave Frequency에 對한 Spectral Density의 값을 表示한 것으로 이를 船舶의 針路, 速力에 따른 Encountering Wave Spectrum으로 變更시켜야 實際의 航行船에 使用할 수 있다.

$$\text{즉, } W_e = W_w + \frac{W_w^2 V}{g} \cos \mu \text{ 이므로.}$$

$S_e(W_e) = S_w(W_w) \cdot \frac{1}{1 - (2 W_w V/g) \cos \mu}$  로써 종축의 좌표값을 變遷시킨다.

### 그림 ( II.2.3 ) Encountering Wave Spectrum



Dominant Wave 와의 조우각  $\mu_w$  가  
를수록 Spectrum Curve는 우측으  
로 이동한다.

#### 4. Response Amplitude Operator

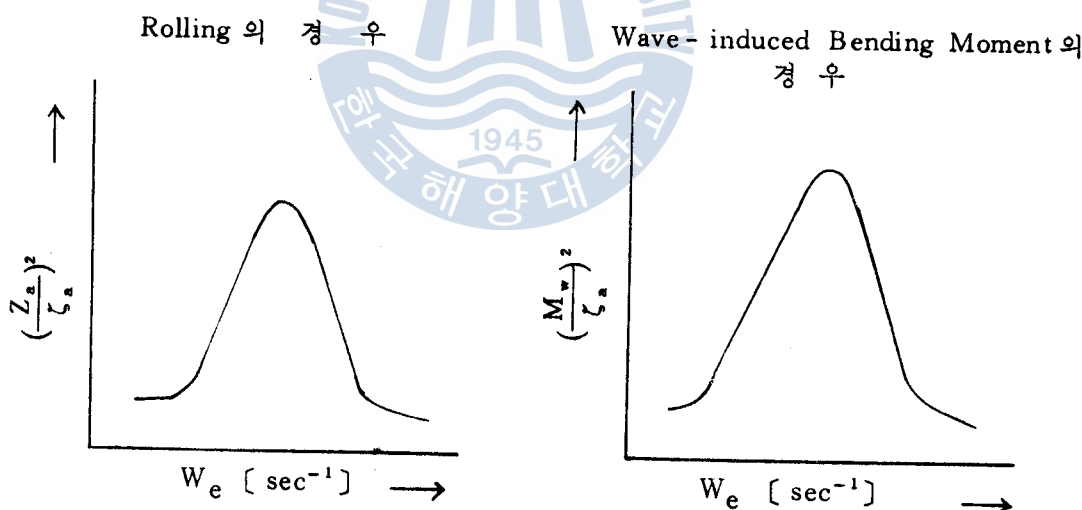
Encountering Wave Spectrum은 각  $W_e$ 에 對한 Wave Amplitude  $\zeta_a$ 의 자승값의  $\frac{1}{2}$ 을 表示한 Spectral Density 이므로 Wave Amplitude  $\zeta_a$ 에 對한 船體의 Rolling Amplitude Ratio 즉,

$$\frac{\phi_a}{\zeta_a} = \mu_\phi \frac{W_w^2}{g} 57.3 \sin \mu$$

를 자승한  $(\frac{\phi_a}{\zeta_a})^2$  을 알수 있으면  $\frac{1}{2} \phi_a^2$  의 값을 각  $W_e$ 에 對하여 表示한 最終的인 Response Spectrum을 얻을 수 있다.

그림 ( II.4.1 )

Response Amplitude Operator ( Transform spectrum ).



한편 Encountering Wave Spectrum을 利用하여 Seaway Bending Moment의 Response Spectrum을 구할 경우는 Frequency Response Function for Bending Moment 즉,

$$\frac{M_w}{\zeta_a} = 2 m_w \rho g L^2 B \text{ 의 자승인 } \left(\frac{M_w}{\zeta_a}\right)^2 \text{ 을 Response Ampli-}$$

tude Operator for Bending Moment を 使用한다.

### 5. Response Spectrum

Encountering Wave Spectrum의 Spectral Density 와 Response Amplitude Operator 를 Rolling 및 Bending Moment 의 경우에 對해 各各 採  
하면,

$$\text{Rolling 的 경우 ; } \frac{1}{2} \zeta_a^2 \times \left( \frac{\phi_a}{\zeta_a} \right)^2 = \frac{1}{2} \phi_a^2$$

Bending Moment 的 경우 ;  $\frac{1}{2} \zeta_a^2 \times \left( \frac{M_w}{\zeta_a} \right)^2 = \frac{1}{2} M_w^2$  이 되며 이 값들 을 Encountering Wave Frequency We 에 대하여 표시한 것이 各各 Roll Response Spectrum 및 Bending Moment Response Spectrum이다.

i) Response Spectrum 들은 船體運動을 統計的인 方法으로 解析하는데 있어서 重要한 意味를 갖는다. 왜냐하면 Rolling Motion 이나 Bending Moment 의 We 에 對한 Double Amplitude 分布도 역시 Wave Height 的 경우와 같이 理論的인 Rayleigh 分布를 보이기 때문이다.

따라서 이들 Response Curve 의 面積들을 각자  $m_0$ ,  $m_{01}$  라 할때에 Rolling 및 Bending Moment 와  $m_0$  들과의 관계는 표 ( II.2.1 ) 과 같게 된다.

즉 Rolling 的 경우 ;

$$(\phi)_{ave} = 1.25 \sqrt{m_0} \quad \dots \dots \dots \quad (\text{II.5.1})$$

$$(\phi)_{\frac{1}{3}} = 2.00 \sqrt{m_0} \quad \dots \dots \dots \quad (\text{II.5.2})$$

$$(\phi)_{\frac{1}{10}} = 2.55 \sqrt{m_0} \quad \dots \quad (\text{II.5.3})$$

$$(\phi)_{\frac{1}{100}} = 3.34 \sqrt{m_0} \quad \dots \quad (\text{II.5.4})$$

Wave - induced (seaway) Bending Moment의 경우,

$$(BM)_{ave} = 1.25 \sqrt{m_0} \quad \dots \quad (\text{II.5.5})$$

$$(BM)_{\frac{1}{3}} = 2.00 \sqrt{m_0} \quad \dots \quad (\text{II.5.6})$$

$$(BM)_{\frac{1}{10}} = 2.55 \sqrt{m_0} \quad \dots \quad (\text{II.5.7})$$

$$(BM)_{\frac{1}{100}} = 3.34 \sqrt{m_0} \quad \dots \quad (\text{II.5.8})$$



### III. 數 值 計 算

#### 1. 假 定

II章의 理論에서 Strip Theory를 適用하는데에는 다음과 같은 假定을前提로 한다.

첫째, 數많은 種類의 Simple sine Wave에 對한 船體運動의 合은 그 많은 要素波들의 合成波에 依한 船體運動과 같다.

둘째, 어떤 規則的인 要素波에 對한 船體運動은 이 要素波의 振幅에對하여 線型으로 變化한다.

以上의 假定들은 激甚하지 않은 波浪에서의 船體運動에 對하여 無理없이 適用될 수 있음이 Model Test에 依하여 밝혀진 바가 있다.

#### 2. 計 算에 使用된 Sample 의 船舶

本 論文에서 對象으로 한 船舶들은 現實的으로 많이 就航하고 있는 船種中에서 하나씩 擇한 것이며 표(III.2.1)과 같은 諸元을 갖고 있다.

<표 III.2.1>

船種 區分	Bulk Carrier	Container	Log Carrier
L.O.A	223.91 M	200.60 M	175.22 M
B (MLD)	32.0 M	23.8 M	25.0 M
Depth (MLD)	15.16 M	14.33 M	14.0 M
Draft (summer)	10.58 M	8.31 M	10.20 M

船種 區分	Bulk Carrier	Container	Log Carrier
D·W (summer)	46855 $\frac{M}{t}$	18846 $\frac{M}{t}$	26740 $\frac{M}{t}$
G/T	29117 T	17676 T	15187 T
Draft : F	10.27 M	6.40 M	10.16 M
: A	10.29 M	7.58 M	10.48 M
Displacement	56511 $\frac{M}{t}$	21500 $\frac{M}{t}$	33379 $\frac{M}{t}$
GM <sub>T</sub>	3.2 M	1.6 M	0.42 M
Speed	12 kts	12 kts	12 kst

### 3. 橫搖計算

위 2의 표 (III.2.1) 의 船舶에 對한 橫搖計算은 다음의 過程들을 電算 Programming 하여 計算하였다.

#### (1) Standard Wave Spectrum

Irregular Seaway의 Wave Records를 觀測한 資料가 없으므로 ITTC Standard Spectrum을 사용하였다.

그러므로 Absolute Wave Frequency의 Spectral Density를  $S_\zeta(W_w)$  라 하면

$$S_\zeta(W_w) = \frac{A}{W_w^4} e^{-B/W_w^4} \quad \dots \dots \dots \dots \dots \dots \quad (\text{III.3.1})$$

단,  $A = 8.10 \times 10^{-3} \times g^2$  ( $g$  는 重力加速度)

$$B = 33.56 / (h_{\frac{1}{3}})^2$$

$h_{\frac{1}{3}}$  : Significant Wave Height (ft 단위)

激烈한 荒天中에 서 避航操船에 關する 理論的의 研究

따라서,  $S (W_w)$  은  $ft^2 \cdot sec$  단위.

(2) Two-Dimensional Encountering Wave Spectrum Area.

2 次元의 Encountering Wave Spectrum 의 Spectral Density 는

$$S_\zeta (W_e, \mu_w) = S_\zeta (W_e) \times f(\mu_w) 이고$$

$$W_e = W_w (1 - \frac{W_w}{g} V \cos \mu), \quad \text{따라서}$$

$$\begin{aligned} S_\zeta (W_e) &= \frac{S_\zeta (W_w)}{\left[1 - (4 W_e / g) V \cdot \cos \mu\right]^{\frac{1}{2}}} \\ &= \frac{S_\zeta (W_w)}{1 - (2 W_w / g) V \cos \mu} \end{aligned}$$

그러므로 Two-Dimensional Encountering Wave Spectrum Area 는

$$m_{0\zeta} = \int_0^\infty \int_{-\frac{\pi}{2}}^{\frac{\pi}{2}} S_\zeta (W_e) f(\mu_w) dW_w d\mu_w \dots \quad (\text{III.3.2})$$

(3) Response Amplitude Operator for Rolling.

R.A.O for roll =  $(\frac{\phi_a}{\zeta_a})^2$  이므로 Roll Response Amplitude Ratio to

Wave Amplitude  $\zeta$   $\frac{\phi_a}{\zeta_a}$  를 구하면,

$$\frac{\phi_a}{\zeta_a} = \mu_\phi \frac{2\pi}{L_w} \sin \mu = \mu_\phi \frac{W_w^2}{g} 57.3 \sin \mu \dots \quad (\text{III.3.3})$$

$$\text{왜냐하면 } \frac{W_w^2}{g} = \frac{2\pi}{L_w} = K$$

$$\text{단, } \mu_\phi = \frac{\phi_a}{\phi_{st}} = \frac{1}{\sqrt{(1 - \Lambda^2)^2 + 4K^2\Lambda^2}}$$

$$\lambda = \frac{W_e}{W_\phi}$$

$$W_\phi = \sqrt{\frac{\Delta GM_T}{I'_{xx}}} = \sqrt{\frac{\Delta GM_T \cdot g}{\Delta' K^2_{xx}}} \quad \div \quad \sqrt{\frac{\Delta GM_T \cdot g}{1.15 \Delta K^2_{xx}}}$$

$$K_{xx} = \frac{\sqrt{g \cdot GM_T}}{2 \pi} \cdot T_s \quad T_s = \frac{0.8 B}{\sqrt{GM}} \quad K = \frac{\nu}{W_\phi}$$

$$\nu = \frac{b}{2a} = \frac{b}{2 \cdot I'_{xx}} = \frac{b}{2 \cdot \Delta' \cdot K^2_{xx}}$$

$$b = \int b_n d\xi$$

$$b_n = \frac{\rho g^2}{W_e^3} \left( \frac{B_n}{2} \right)^2 \bar{A}_\phi \quad \bar{A}_\phi = \frac{\zeta_a}{\phi_a \left( \frac{B_n}{2} \right)} = d\phi \left( \frac{W_e^2 B_n}{2g} \right)^2$$

#### (4) Two-Dimensional Roll Response Spectrum Area.

Roll Response spectrum의 Spectral Density  $S_R$  은

$$S_R (W_e, \mu_w) = [S_\zeta (W_e) f(\mu_w)] [RAO (W_e, \mu_w)] \quad (\text{III.3.4})$$

이므로 Spectrum Area MOR 은

$$M_{OR} = \int_{-\frac{\pi}{2}}^{\frac{\pi}{2}} \int_0^\infty S_R (W_e, \mu_w) dW_e d\mu_w = \int_{-\frac{\pi}{2}}^{\frac{\pi}{2}} \int_0^\infty [S_\zeta (W_e) f(\mu_w)] [RAO (W_e, \mu_w)] d\mu_w \quad (\text{III.3.5})$$

#### (5) Rolling Amplitude

위의 식 (III.3.1), (III.3.2), (III.3.3), (III.3.4), (III.3.5) 를 Strip Method에 依하여 船體의 종방향으로 8개의 구획을 나누어 橫分하고 그 結果를 式 (II.5.1), (II.5.2), (II.5.3), (II.5.4) 에 代入하여 표 (III.3.1) – (III.3.5) 의 값들을 얻었다.

표 (III.3.1) 풍력계급 Beaufort Scale 5 ( Fresh breeze : 19 kts ) 때의

횡요값 ( 단위 : 도 )      유의파고 : 10 ft      선속 : 12 kts

선 종 구 분	Bulk Carrier				Container				Log Carrier			
	$\phi_{ave}$	$\phi \frac{1}{3}$	$\phi \frac{1}{10}$	$\phi \frac{1}{100}$	$\phi_{ave}$	$\phi \frac{1}{3}$	$\phi \frac{1}{10}$	$\phi \frac{1}{100}$	$\phi_{ave}$	$\phi \frac{1}{3}$	$\phi \frac{1}{10}$	$\phi \frac{1}{100}$
조우자	0.7	1.1	1.5	1.9	0.7	1.0	1.3	1.7	0.1	0.2	0.2	0.3
0°	0.7	1.1	1.5	1.9	0.7	1.0	1.3	1.7	0.1	0.2	0.2	0.3
45°	1.0	1.6	2.0	2.7	0.9	1.4	1.8	2.3	0.1	0.2	0.3	0.4
90°	0.4	0.6	0.7	1.0	0.3	0.5	0.7	0.9	0.0	0.1	0.1	0.2
135°	0	0	0	0	0	0	0	0	0	0	0	0
180°	0	0	0	0	0	0	0	0	0	0	0	0

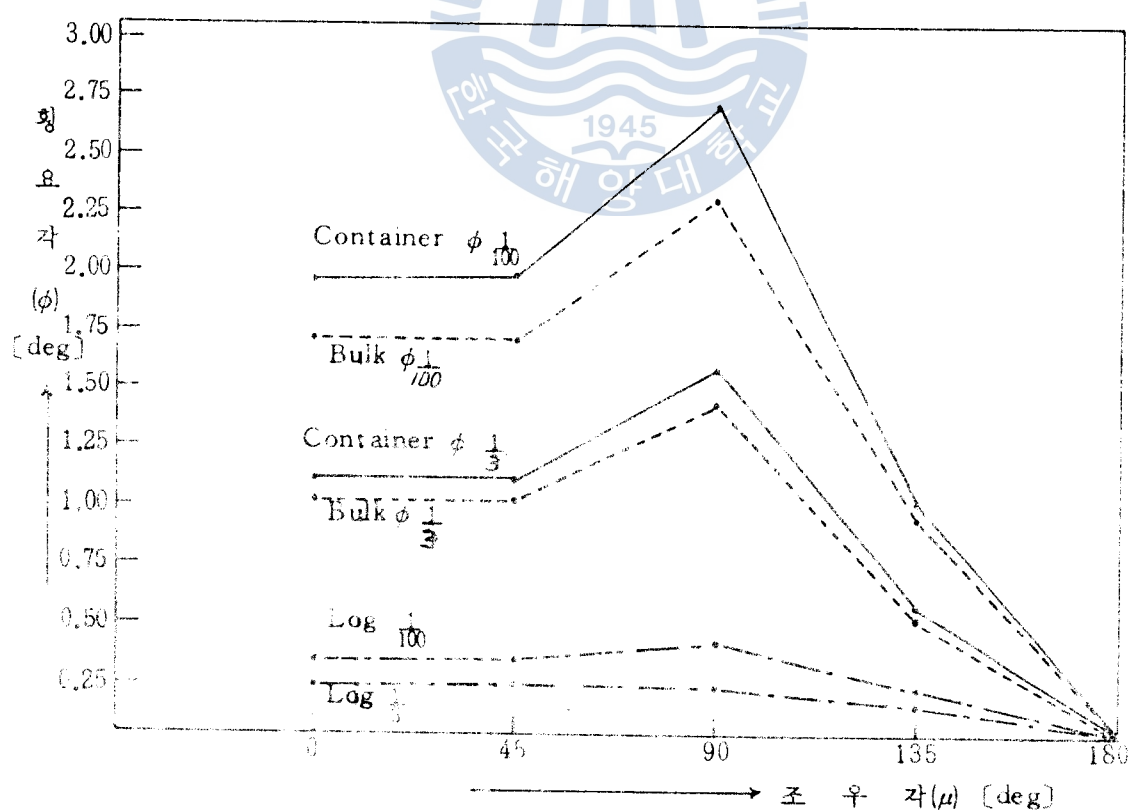


표 (III.3.2) 풍력계급 Beaufort Scale 6 (Strong breeze : 25 kts) 때의

횡 요각 (단위 : 도)      유의파고 : 13.5 ft      선속 : 12 kts

조우각 구 분	선종	Bulk Carrier				Container				Log Carrier			
		$\phi_{ave}$	$\phi \frac{1}{3}$	$\phi \frac{1}{10}$	$\phi \frac{1}{100}$	$\phi_{ave}$	$\phi \frac{1}{3}$	$\phi \frac{1}{10}$	$\phi \frac{1}{100}$	$\phi_{ave}$	$\phi \frac{1}{3}$	$\phi \frac{1}{10}$	$\phi \frac{1}{100}$
0°		1.0	1.6	2.0	2.6	0.9	1.4	1.8	2.4	0.2	0.3	0.3	0.4
45°		1.0	1.7	2.2	2.9	1.0	1.6	2.0	2.6	0.2	0.3	0.4	0.5
90°		1.9	3.0	3.9	5.1	1.8	2.8	3.6	4.7	0.2	0.3	0.4	0.5
135°		0.6	1.0	1.2	1.6	0.5	0.8	1.0	1.3	0.1	0.1	0.2	0.2
180°		0	0	0	0	0	0	0	0	0	0	0	0

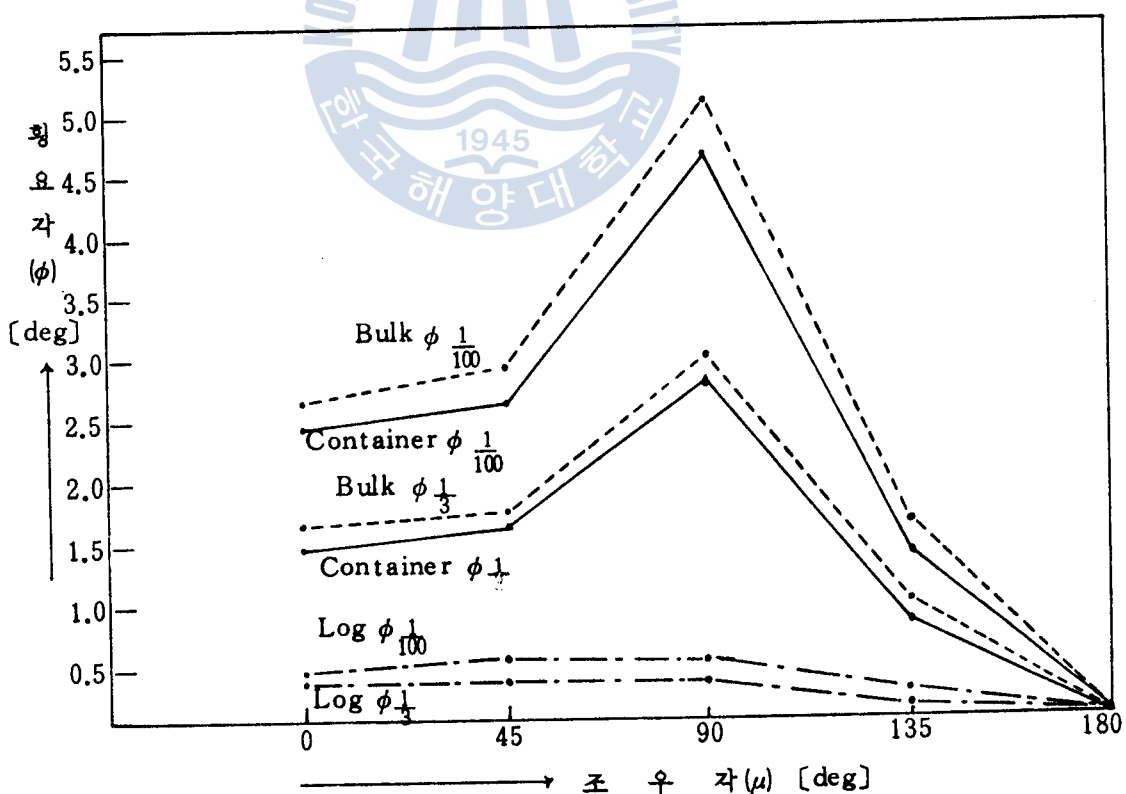


표 (III.3.3) 풍력계급 Beaufort Scale 7 (Moderate gale : 31 kts) 때의

횡요값 (단위 : 도)      유의파고 : 18 ft      선속 : 12 kts

선종 조우각 부분	Bulk Carrier				Container				Log Carrier			
	$\phi_{ave}$	$\phi \frac{1}{3}$	$\phi \frac{1}{10}$	$\phi \frac{1}{100}$	$\phi_{ave}$	$\phi \frac{1}{3}$	$\phi \frac{1}{10}$	$\phi \frac{1}{100}$	$\phi_{ave}$	$\phi \frac{1}{3}$	$\phi \frac{1}{10}$	$\phi \frac{1}{100}$
0°	1.2	2.0	2.6	3.4	1.1	1.8	2.3	3.0	0.2	0.3	0.4	0.6
45°	2.5	4.0	5.1	6.6	1.6	2.5	3.2	4.2	0.2	0.4	0.5	0.6
90°	5.0	8.0	10.1	13.3	5.8	9.3	11.8	15.5	0.3	0.4	0.5	0.7
135°	1.8	2.8	3.6	4.7	0.9	1.5	1.9	2.5	0.1	0.2	0.2	0.3
180°	0	0	0	0	0	0	0	0	0	0	0	0

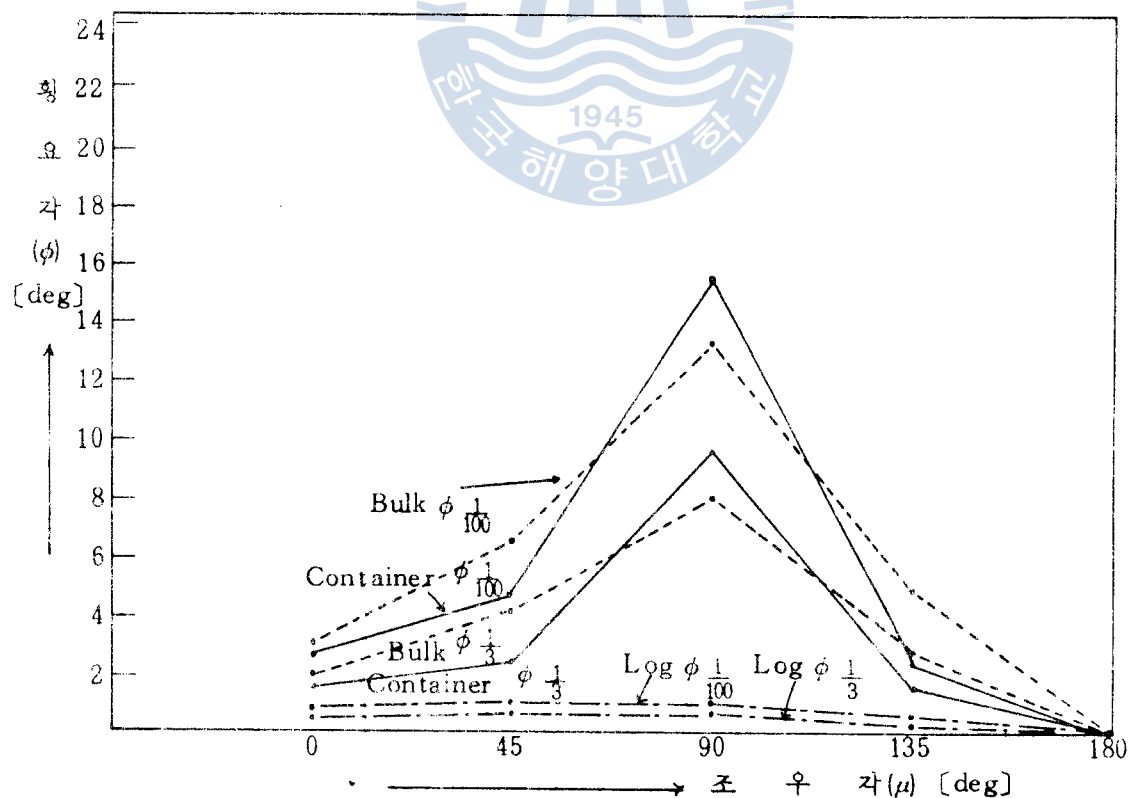
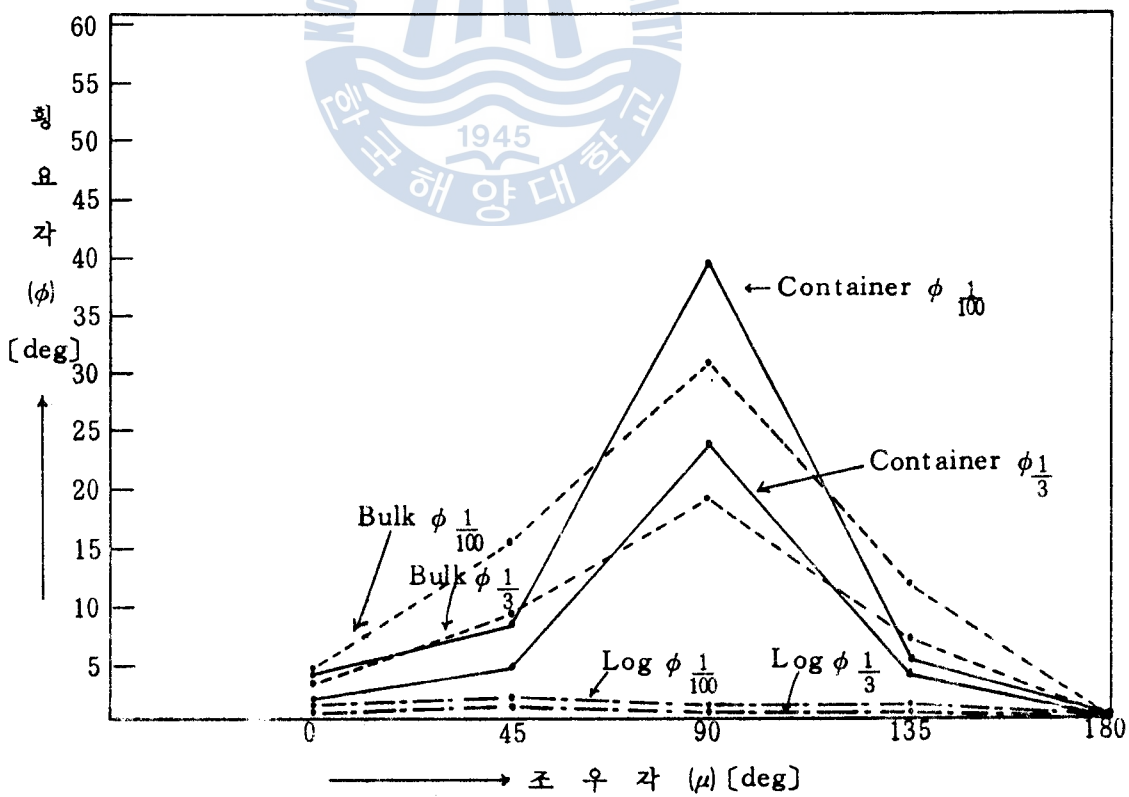


表 (III.3.4) 풍력계급 Beaufort Scale 8 (Fresh gale: 37 kts) 때의

횡요값 (단위: 도)      유의파고: 25 ft      선속: 12kts

선종 구분 조우각	Bulk Carrier				Container				Log Carrier			
	$\phi_{ave}$	$\phi \frac{1}{3}$	$\phi \frac{1}{10}$	$\phi \frac{1}{100}$	$\phi_{ave}$	$\phi \frac{1}{3}$	$\phi \frac{1}{10}$	$\phi \frac{1}{100}$	$\phi_{ave}$	$\phi \frac{1}{3}$	$\phi \frac{1}{10}$	$\phi \frac{1}{100}$
0°	1.7	2.7	3.5	4.5	1.5	2.4	3.1	4.1	0.3	0.4	0.6	0.7
45°	5.7	9.0	11.5	15.1	2.9	4.6	5.9	7.7	0.5	0.7	0.9	1.2
90°	11.7	18.7	23.7	31.1	14.7	23.5	29.9	39.1	0.4	0.6	0.7	1.0
135°	4.4	7.1	9.0	11.8	2.0	3.2	4.1	5.4	0.3	0.5	0.6	0.8
180°	0	0	0	0	0	0	0	0	0	0	0	0

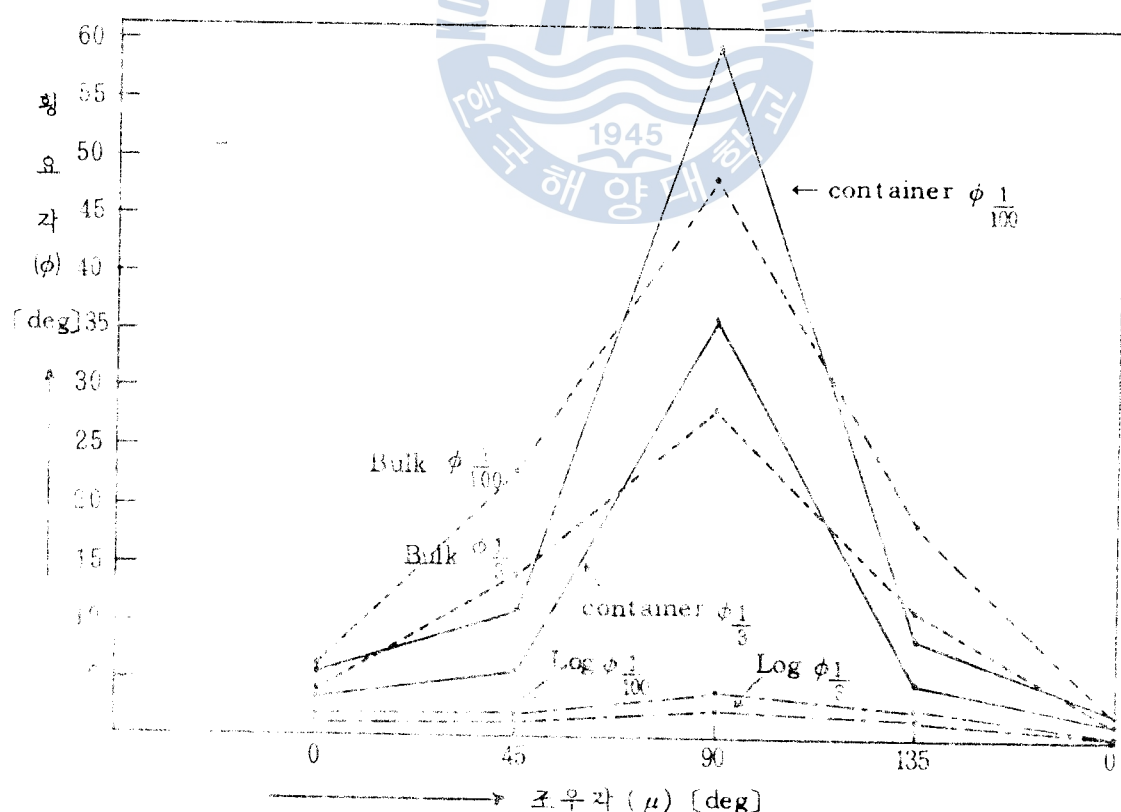


激烈한 荒天中에 서 避航操船에 關する 理論的인 研究

표 (III.3.5) 풍력계급 Beaufort Scale 9 (Strong gale: 44 kts) 때의

횡 요각 (단위: 도) 유의파고: 33ft 선속: 12 kts

선종	Bulk Carrier				Container				Log Carrier					
	조우자 구분	$\phi_{ave}$	$\phi \frac{1}{3}$	$\phi \frac{1}{10}$	$\phi \frac{1}{100}$	조우자 구분	$\phi_{ave}$	$\phi \frac{1}{3}$	$\phi \frac{1}{10}$	$\phi \frac{1}{100}$	조우자 구분	$\phi_{ave}$	$\phi \frac{1}{3}$	$\phi \frac{1}{10}$
0°	2.3	3.6	4.6	6.1	2.1	3.3	4.2	5.6	0.4	0.6	0.7	0.9		
45°	6.7	13.9	17.7	23.1	4.2	6.7	8.6	11.2	0.5	0.8	1.0	1.3		
90°	17.9	23.5	36.2	47.5	22.9	36.5	46.4	60.9	1.4	2.2	2.8	3.7		
135°	6.9	11.0	14.1	18.4	3.1	4.9	6.3	8.2	1.0	1.7	2.2	2.9		
180°	9.1	0.1	0.2	0.2	0.1	0.1	0.2	0.2	0	0	0	0		



#### 4. 縱方向 Wave - induced Bending Moment 및 Stress 計算

##### (1) Absolute Wave spectrum 및 Two - Dimensional Encountering

###### Wave Spectrum.

3절 橫搖計算의 경우와 同一한 海面 및 船舶이므로 式 (III.3.1) 및 式 (III.3.2)에 依하여 Encountering Wave Spectrum의 Spectral Density 를 구한다.

##### (2) Response Amplitude Operator

Wave - induced Bending Moment의 Amplitude는

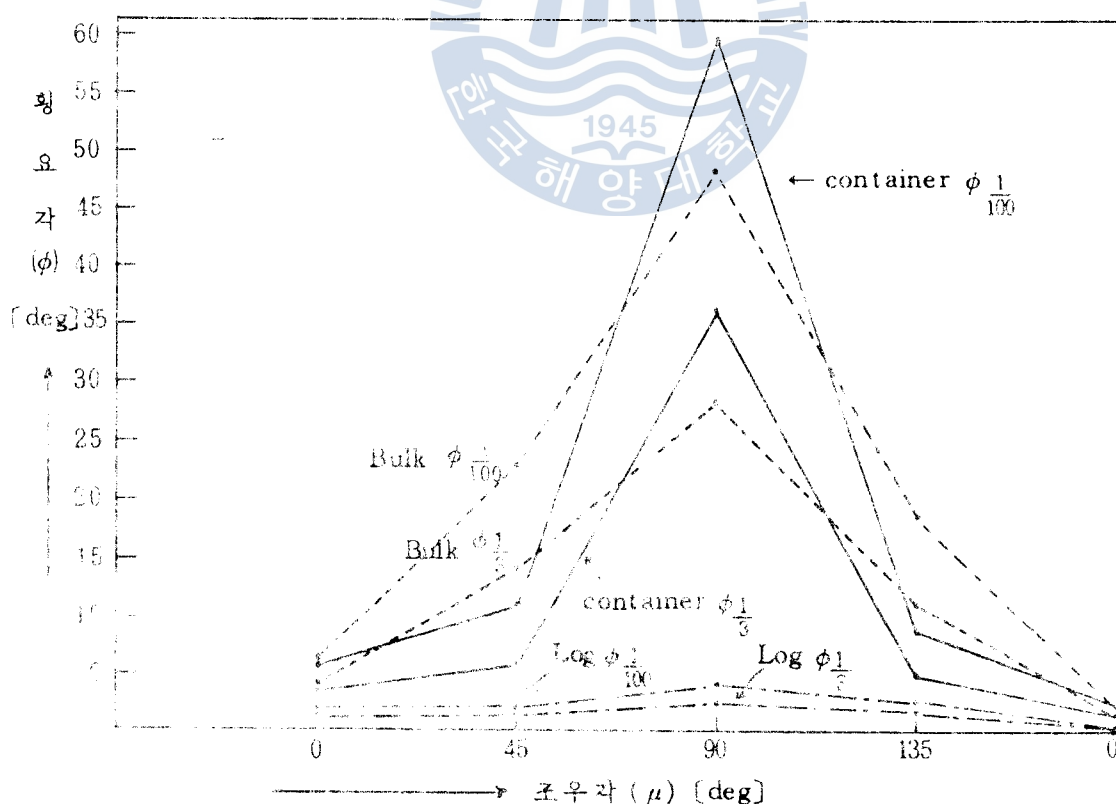
$$(M_w)_s = m_w 2\rho g L^2 B \zeta_s \quad (\text{III.4.1}) \text{ 이다.}$$



표 (III.3.5) 풍력계급 Beaufort Scale 9 (Strong gale: 44 kts) 때의

횡 요각 (단위: 도) 유의파고: 33ft 선속: 12 kts

선종 조우각 $\mu$	Bulk Carrier				Container				Log Carrier			
	$\phi_{ave}$	$\phi \frac{1}{3}$	$\phi \frac{1}{10}$	$\phi \frac{1}{100}$	$\phi_{ave}$	$\phi \frac{1}{3}$	$\phi \frac{1}{10}$	$\phi \frac{1}{100}$	$\phi_{ave}$	$\phi \frac{1}{3}$	$\phi \frac{1}{10}$	$\phi \frac{1}{100}$
0°	2.3	3.6	4.6	6.1	2.1	3.3	4.2	5.6	0.4	0.6	0.7	0.9
45°	6.7	13.9	17.7	23.1	4.2	6.7	8.6	11.2	0.5	0.8	1.0	1.3
90°	17.9	23.5	36.2	47.5	22.9	36.5	46.4	60.9	1.4	2.2	2.8	3.7
135°	6.9	11.0	14.1	18.4	3.1	4.9	6.3	8.2	1.0	1.7	2.2	2.9
180°	9.1	0.1	0.2	0.2	0.1	0.1	0.2	0.2	0	0	0	0



#### 4. 縱方向 Wave - induced Bending Moment 및 Stress 計算

##### (1) Absolute Wave spectrum 및 Two - Dimensional Encountering

Wave Spectrum.

3 절 橫搖計算의 경우와 同一한 海面 및 船舶이므로 식(III.3.1) 및 식(III.3.2)에 依하여 Encountering Wave Spectrum의 Spectral Density 를 구한다.

##### (2) Response Amplitude Operator

Wave - induced Bending Moment 의 Amplitude 는

$$(M_w)_a = m_w 2 \rho g L^2 B \zeta_a \quad (\text{III.4.1}) \text{ 이다.}$$

$$\frac{M_w}{\zeta_a} = 2m_w \rho g L^2 B \text{ 이므로}$$

$$\text{RAO} = \left( \frac{M_w}{\zeta_a} \right)^{\frac{1}{2}} \text{ 이다.}$$

$$\text{단, } m_w = A_1 C_w + A_2 \frac{L}{T} + A_3 \frac{K_{yy}}{L} + A_4 \frac{L}{B} + A_5 \frac{V}{\sqrt{L}} + A_6 \text{ 이고}$$

$A_1, A_2, A_3, A_4, A_5, A_6$  는 Bending Moment Response Curve의 Coefficient 들로서 “ Moor, D.I ” 가 사용한 것이다.

##### (3) Two - Dimensional Wave - induced Bending Moment Response Spectrum Area

i) Spectrum Area 를  $S_{BM}$  이라 하면

$$\begin{aligned} S_{BM}(W_e, \mu_w) &= \int_{-\frac{T}{2}}^{\frac{T}{2}} \int_0^\infty S_{BM}(W_e, \mu_w) dW_e d\mu_w \\ &= \int_{-\frac{T}{2}}^{\frac{T}{2}} \int_0^\infty [S_{BM}(W_e)f(\mu_w)] \times [\text{RAO}(W_e, \mu_w)] \cdot \\ &\quad dW_e d\mu_w \quad (\text{III.4.2}) \end{aligned}$$

## (4) Wave - induced Bending Moment Amplitude

위 식 (III.4.2) 를 Strip Method에 依하여 船體를 종방향으로 8 개의 구획을 나누어 積分하고 그 結果를 式 (II.5.1), (II.5.2), (II.5.3), (II.5.4)에 代入하여 표 (III.4.1), (III.4.2), (III.4.3), (III.4.4), (III.4.5)의 값들을 얻었다.

## (5) Stress의 計算

## 가. 단면계수

강선의 단면계수  $Z$  는 ABS Rule에 의하면 다음의 式 (III.4.3) 과 (III.4.4) 중 큰쪽으로 정하고 있다.

$$Z = M_t / \sigma_p \quad (\text{cm}^3 \cdot \text{m}) \quad \dots \dots \dots \quad (\text{III.4.3})$$

단,  $M_t = M_s + M_w$

$\sigma_p$  = 허용한계 용력

$$\left\{ \begin{array}{l} \sigma_p = 1.663 - \frac{240 - L}{2640} \text{ ton/cm} \quad (61 m \leq L \leq 240 m) \\ \sigma_p = 1.663 - \frac{L - 240}{4000} \text{ ton/cm} \quad (240 m < L \leq 427 m) \end{array} \right.$$

$$Z = 0.01 C_1 L^2 B (C_b + 0.7) \quad (\text{cm}^3 \cdot \text{m}) \quad \dots \dots \dots \quad (\text{III.4.4})$$

단,  $C_1 = 10.75 - \left( \frac{300 - L}{100} \right)^{1.5} \quad (90 \leq L \leq 300 m)$

$C_1 = 10.75 \quad (300 < L \leq 350 m)$

$C_1 = 10.75 - \left( \frac{L - 350}{150} \right)^{1.5} \quad (350 < L \leq 427 m)$

Still Water Bending Moment  $M_s$  (ABS Rule) 의 기준은

$$M_s = C_{st} L^{2.5} B (C_b + 0.5) \dots \quad (\text{III.4.5})$$

단,  $C_{st} = [0.618 + \frac{110 - L}{462}] 10^{-2}$  ( $61 \leq L \leq 110 m$ )

$$C_{st} = [0.564 + \frac{160 - L}{925}] 10^{-2} \quad (110 < L < 160 m)$$

$$C_{st} = [0.544 + \frac{210 - L}{2500}] 10^{-2} \quad (160 < L \leq 210 m)$$

$$C_{st} = 0.544 \times 10^{-2} \quad (210 < L \leq 250 m)$$

$$C_{st} = [0.544 - \frac{L - 250}{1786}] 10^{-2} \quad (250 < L \leq 427 m)$$

Wave-induced Bending Moment  $M_w$  (ABS Rule) 의 기준은

$$M_w = C_2 L^2 B H_e K_b \dots \quad (\text{III.4.6})$$

단,  $C_2 = (2.34 C_b + 0.2) 10^{-2}$

$H_e$  는 설계파고로서

$$H_e = 0.0172 L + 3.653 \quad (61 \leq L \leq 150 m)$$

$$H_e = 0.0181 L + 3.516 \quad (150 < L \leq 220 m)$$

$$H_e = (4.50 L - 0.0071 L^2 + 103) 10^{-2} \quad (220 < L \leq 305 m)$$

$$H_e = 8.151 \quad (305 < L \leq 427 m)$$

조건에서 표(Ⅲ.4.1) ~ (Ⅲ.4.5) 와 實際 Wave - induced Bending Moment 를 받는 선박에 미치는 Stress 가 되며 이것을 역시 電算 Program에 의해 구한 결과 표(Ⅲ.4.6) ~ (Ⅲ.4.10) 의 값들을 얻었다.



표 (III.4.1) 풍력 계급 Beaufort Scale 5 ( Fresh breeze : 19 kts ) 를 의 Wave – induced Bending Moment. ( 단위 : M – ton ) 규제 파고 : 10 ft 선속 : 12 kts

## (a) Hogging

선종 조우자 각도	Bulk Carrier			Container			Log Carrier		
	BM ave	BM $\frac{1}{3}$	BM $\frac{1}{10}$	BM ave	BM $\frac{1}{3}$	BM $\frac{1}{10}$	BM ave	BM $\frac{1}{3}$	BM $\frac{1}{10}$
180°	20,820	33,232	42,288	55,431	25,838	41,243	52,481	68,793	14,093
135°	14,332	22,877	29,112	38,160	13,135	20,966	26,680	34,972	9,095
90°	9,810	15,659	19,926	26,120	8,634	13,782	17,537	22,988	5,996
45°	7,946	12,683	16,140	21,157	6,923	11,052	14,063	18,434	4,808
0°	7,435	11,868	15,102	19,796	6,464	10,317	13,129	17,209	4,488

## (b) Sagging 의 경우

선종 조우자 각도	Bulk Carrier			Container			Log Carrier		
	BM ave	BM $\frac{1}{3}$	BM $\frac{1}{10}$	BM ave	BM $\frac{1}{3}$	BM $\frac{1}{10}$	BM ave	BM $\frac{1}{3}$	BM $\frac{1}{10}$
180°	31,082	49,613	63,132	82,754	40,283	64,299	81,820	107,250	25,182
135°	22,601	36,076	45,907	60,175	24,545	39,178	49,854	65,349	16,680
90°	15,667	25,007	31,822	41,712	16,551	26,418	33,617	44,066	11,140
45°	12,728	20,317	25,854	33,889	13,353	21,314	27,122	35,552	8,970
0°	11,919	19,024	24,208	31,732	12,483	19,925	25,355	33,236	8,382

표 (II. 4. 2) 풍속  $\frac{1}{2}$  바람, 바다 상태: Strong breeze ( $20 \text{ kts}$ ),  $\frac{1}{2}$  바다  
Waves: Enhanced breaking  
Momentum ( $10^4 \text{ ton}$ )      風速  $\frac{1}{2}$  바람: 20 kts  
                                        波浪冲撞力: 10<sup>4</sup> t

(a) Log-in 21

조우각 °	Bulk Carrier			Container			Log Carrier		
	BM <sub>ave</sub>	BM <sub>1/3</sub>	BM <sub>1/6</sub>	BM <sub>ave</sub>	BM <sub>1/3</sub>	BM <sub>1/6</sub>	BM <sub>ave</sub>	BM <sub>1/3</sub>	BM <sub>1/6</sub>
180°	39,257	42,493	73,5	104,519	38,479	61,413	78,154	102,448	23,353
135°	28,425	33,167	58,747	77,066	22,932	36,699	46,699	61,213	16,172
90°	26,444	30,651	51,526	54,439	15,697	25,055	31,882	41,792	11,110
45°	16,727	26,715	33,995	44,561	12,729	29,317	25,853	33,889	9,052
0°	15,702	25,963	31,861	41,907	11,914	19,618	24,200	31,722	8,548

(b) Sizing of

조우각 °	Bulk Carrier			Container			Log Carrier		
	BM <sub>ave</sub>	BM <sub>1/3</sub>	BM <sub>1/6</sub>	BM <sub>ave</sub>	BM <sub>1/3</sub>	BM <sub>1/6</sub>	BM <sub>ave</sub>	BM <sub>1/3</sub>	BM <sub>1/6</sub>
180°	64,093	102,314	130,191	179,655	68,264	108,961	138,653	181,748	44,684
135°	48,940	78,117	99,404	130,299	46,877	74,824	95,214	124,806	32,050
90°	35,091	56,011	71,276	93,427	32,729	52,241	66,476	87,137	22,463
45°	28,867	46,076	58,632	76,855	26,698	42,615	54,227	71,081	18,297
0°	27,114	43,279	55,072	72,189	25,026	39,945	50,830	65,628	17,157

표 (III.4.3) 풍력체급 Beaufort Scale 7 (Moderate gale : 31 kts) 를 의  
Wave – induced Bending Moment (단위 : M – ton) 단위 파고 : 18 ft 선속 : 12 kts

## (a) Hogging 의 경우

선종 조우각	구분	Bulk Carrier			Container			Log Carrier		
		BM <sub>ave</sub>	BM <sub>1/3</sub>	BM <sub>1/10</sub>	BM <sub>ave</sub>	BM <sub>1/3</sub>	BM <sub>1/10</sub>	BM <sub>ave</sub>	BM <sub>1/3</sub>	BM <sub>1/10</sub>
180°	62,210	99,298	126,357	165,630	52,319	83,510	106,267	139,295	33,400	53,312
135°	48,030	76,745	97,658	128,010	34,948	55,784	70,905	93,047	24,394	38,936
90°	35,049	55,945	71,190	93,316	24,796	39,578	50,364	66,017	17,257	27,544
45°	29,026	46,330	,955	77,279	20,382	32,533	41,398	54,264	14,154	22,593
0°	27,311	43,593	55,472	72,713	19,144	30,557	38,884	50,969	13,287	21,209

## (b) Sagging 의 경우

선종 조우각	구분	Bulk Carrier			Container			Log Carrier		
		BM <sub>ave</sub>	BM <sub>1/3</sub>	BM <sub>1/10</sub>	BM <sub>ave</sub>	BM <sub>1/3</sub>	BM <sub>1/10</sub>	BM <sub>ave</sub>	BM <sub>1/3</sub>	BM <sub>1/10</sub>
180°	109,673	175,057	222,759	291,994	99,833	159,351	202,774	265,798	67,678	108,027
135°	87,275	139,306	177,267	232,362	73,161	116,778	148,600	194,785	51,100	81,564
90°	64,592	103,100	131,194	171,970	52,410	83,655	106,451	139,537	36,784	58,713
45°	53,766	85,819	109,205	143,137	43,128	68,840	87,599	114,825	30,331	48,414
0°	50,653	80,851	102,883	134,859	40,514	64,668	82,290	107,866	28,508	45,504

圖 4) 船體尺度 Scale 8 ( 鮮船速 37 kts ) 由 Wave - induced Bending Moment ( 船體轉矩 ) 為基準 : 25 ft 單倉 : 12 kts

(a) Toggling 2)

Z φ	T φ	Bulk Carrier				Container				Log Carrier			
		BM <sub>Ave</sub>	BM <sub>1/4</sub>	BM <sub>1/16</sub>	BM <sub>ave</sub>	BM <sub>1/4</sub>	BM <sub>1/16</sub>	BM <sub>Ave</sub>	BM <sub>1/4</sub>	BM <sub>1/16</sub>	BM <sub>Ave</sub>	BM <sub>1/4</sub>	BM <sub>1/16</sub>
180°	92, 72°	143, 057	188, 403	246, 960	79, 289	112, 194	142, 767	187, 140	44, 625	71, 228	90, 638	118, 809	
135°	74, 646	119, 148	141, 616	198, 732	51, 431	62, 693	104, 463	136, 931	33, 959	54, 205	38, 975	90, 413	
90°	56, 386	89, 523	113, 912	149, 325	37, 931	60, 544	77, 042	160, 948	24, 671	33, 379	50, 110	65, 684	
45°	46, 909	62, 011	95, 459	125, 130	31, 620	59, 472	64, 225	84, 188	20, 431	32, 611	41, 498	54, 396	
0°	44, 457	52, 892	90, 095	118, 047	29, 307	47, 578	60, 542	79, 359	19, 226	30, 687	39, 049	51, 186	

(b) Sagging 2)

Z φ	T φ	Bulk Carrier				Container				Log Carrier			
		BM <sub>Ave</sub>	BM <sub>1/4</sub>	BM <sub>1/16</sub>	BM <sub>ave</sub>	BM <sub>1/4</sub>	BM <sub>1/16</sub>	BM <sub>Ave</sub>	BM <sub>1/4</sub>	BM <sub>1/16</sub>	BM <sub>Ave</sub>	BM <sub>1/4</sub>	BM <sub>1/16</sub>
180°	172, 039	274, 603	349, 432	458, 037	135, 150	215, 722	274, 506	359, 824	93, 874	149, 839	190, 669	249, 931	
135°	141, 288	225, 519	286, 974	376, 167	103, 374	165, 003	209, 966	275, 225	73, 372	117, 115	149, 028	195, 347	
90°	107, 268	171, 218	217, 875	285, 591	75, 608	120, 780	153, 692	201, 460	53, 974	86, 152	109, 629	143, 702	
45°	90, 177	143, 938	133, 161	249, 089	62, 763	100, 181	127, 480	167, 191	44, 849	71, 587	91, 094	119, 407	
0°	85, 174	135, 952	1172, 999	926, 768	59, 078	94, 299	119, 995	157, 291	42, 235	67, 414	85, 784	112, 446	

표 (III.4.5) 풍류 계급 Beaufort Scale 9 ( Strong gale : 44 kts ) 뱄의 Wave – induced Bending Moment ( 단위 : M – ton ) 유역 폭 : 33 ft 선속 : 12 kts

(a) Hogging ② 경우

선종 조우자 구분	Bulk Carrier			Container			Log Carrier		
	BM ave	BM $\frac{1}{3}$	BM $\frac{1}{10}$	BM ave	BM $\frac{1}{3}$	BM $\frac{1}{10}$	BM ave	BM $\frac{1}{3}$	BM $\frac{1}{10}$
180°	118,610	189,322	240,913	315,790	85,001	135,677	172,649	226,309	52,957
135°	97,665	155,890	198,370	260,025	65,083	103,884	132,193	173,729	41,300
90°	74,771	119,347	151,869	199,070	48,991	78,198	99,506	130,434	30,544
45°	63,137	100,777	128,239	168,097	41,145	65,675	83,572	109,546	25,471
0°	59,709	95,306	121,277	158,971	38,859	62,026	78,928	103,459	24,013

(b) Sagging ② 경우

선종 조우자 구분	Bulk Carrier			Container			Log Carrier		
	BM ave	BM $\frac{1}{3}$	BM $\frac{1}{10}$	BM ave	BM $\frac{1}{3}$	BM $\frac{1}{10}$	BM ave	BM $\frac{1}{3}$	BM $\frac{1}{10}$
180°	223,630	356,952	454,221	595,396	160,474	256,144	325,943	427,248	112,491
135°	186,767	298,111	379,347	497,250	125,524	200,357	254,954	334,196	89,493
90°	143,904	229,695	292,287	383,132	93,154	148,689	189,207	248,031	66,654
45°	121,717	194,281	247,222	324,061	77,688	124,003	157,794	206,838	55,647
0°	115,150	183,799	233,884	306,577	73,231	116,890	148,742	194,973	52,467

한편 선체가 항해중 받는 총응력은  $\sigma_T$ 는  $M_s$  및  $M_w$ 에 의한  $\sigma_s$ ,  $\sigma_w$  외에 Green Water Flooding에 의한 응력  $\sigma_f$ 와 Slamming에 의한  $\sigma_i$  를 합한 것이므로  $\sigma_T = \sigma_s + \sigma_w$ ,  $\sigma_r = \sigma_f + \sigma_i$ 인데  $\sigma_r \approx 0.6 \sigma_T$  이므로 표 (III.4.6) ~ (III.4.10) 의 응력계산에는 계산결과의 1.6 배를 기록하였다.

단, 조우각이  $90^\circ$  이상인 경우는 그 절반인 1.3 배로 처리하였다.

표 (III.4.6) 표 (III.4.1) 의 Bending Moment 중 Sagging Moment 와 Still Water Bending Moment 를 합한 값에 의한 Stress.

( 단위 :  $kg/mm^2$  )

조우각 구분	Bulk Carrier				Container				Log Carrier			
	$\sigma_{ave}$	$\sigma_{\frac{1}{3}}$	$\sigma_{\frac{1}{10}}$	$\sigma_{\frac{1}{100}}$	$\sigma_{ave}$	$\sigma_{\frac{1}{3}}$	$\sigma_{\frac{1}{10}}$	$\sigma_{\frac{1}{100}}$	$\sigma_{ave}$	$\sigma_{\frac{1}{3}}$	$\sigma_{\frac{1}{10}}$	$\sigma_{\frac{1}{100}}$
$180^\circ$	12.1	13.1	13.9	15.0	13.9	16.2	17.9	20.3	12.8	14.6	15.9	17.9
$135^\circ$	11.6	12.3	12.9	13.7	12.4	13.8	14.8	16.3	11.8	13.0	13.9	15.1
$90^\circ$	11.2	11.7	12.1	12.7	11.6	12.6	13.3	14.3	11.1	12.0	12.5	13.3
$45^\circ$	9.0	9.3	9.5	9.9	9.2	9.8	10.3	10.9	8.8	9.3	9.7	10.3
$0^\circ$	8.9	9.2	9.4	9.8	9.1	9.7	10.1	10.8	8.7	9.2	9.6	10.1

표 (III.4.7) 표 (III.4.2)의 Bending Moment 중 Sagging Moment 와  
Still Water Bending Moment 를 합한 값에 의한 Stress  
( 단위 :  $kg/mm^2$  )

선종 구분 조우각	Bulk Carrier				Container				Log Carrier			
	$\sigma_{ave}$	$\sigma \frac{1}{3}$	$\sigma \frac{1}{10}$	$\sigma \frac{1}{100}$	$\sigma_{ave}$	$\sigma \frac{1}{3}$	$\sigma \frac{1}{10}$	$\sigma \frac{1}{100}$	$\sigma_{ave}$	$\sigma \frac{1}{3}$	$\sigma \frac{1}{10}$	$\sigma \frac{1}{100}$
180°	13.9	16.1	17.7	20.0	16.6	20.5	23.4	27.5	15.2	18.4	20.7	24.2
135°	13.1	14.7	15.9	17.7	14.5	17.2	19.2	22.0	13.6	15.9	17.6	20.1
90°	12.3	13.5	14.3	15.6	13.2	15.1	16.4	18.4	12.5	14.1	15.3	17.0
45°	9.7	10.5	11.1	11.9	10.2	11.5	12.4	13.7	9.7	10.8	11.6	12.7
0°	9.6	10.3	10.9	11.7	10.1	11.3	12.1	13.4	9.6	10.6	11.3	12.4

표 (III.4.8) 표 (III.4.3) 와 Bending Moment 중 Sagging Moment 와  
Still Water Bending Moment 를 합한 값에 의한 Stress  
( 단위 :  $kg/mm^2$  )

선종 구분 조우각	Bulk Carrier				Container				Log Carrier			
	$\sigma_{ave}$	$\sigma \frac{1}{3}$	$\sigma \frac{1}{10}$	$\sigma \frac{1}{100}$	$\sigma_{ave}$	$\sigma \frac{1}{3}$	$\sigma \frac{1}{10}$	$\sigma \frac{1}{100}$	$\sigma_{ave}$	$\sigma \frac{1}{3}$	$\sigma \frac{1}{10}$	$\sigma \frac{1}{100}$
180°	16.5	20.2	22.9	26.9	19.6	25.3	29.5	35.6	17.9	22.8	26.4	31.6
135°	15.2	18.2	20.4	23.5	17.1	21.2	24.3	28.7	15.9	19.6	22.3	26.2
90°	14.0	16.1	17.7	20.1	15.1	18.1	20.3	23.4	14.2	16.9	18.8	21.6
45°	10.8	12.3	13.4	15.0	11.5	13.5	15.0	17.1	10.9	12.7	14.0	15.9
0°	10.7	12.1	13.1	14.6	11.3	13.2	14.6	16.6	10.7	12.4	13.6	15.4

## 激列颠荒天中帶及啓航操船에 關する理論的研究

표 (III.4.9) 표 (III.4.4)의 Bending Moment 중 Sagging Moment 와

Still Water Bending Moment 를 합한 값에 의한 Stress

( 단위 : kg/mm<sup>2</sup> )

선종 구분 조수각	Bulk Carrier				Container				Log Carrier			
	$\sigma_{ave}$	$\sigma_{\frac{1}{3}}$	$\sigma_{\frac{1}{10}}$	$\sigma_{\frac{1}{100}}$	$\sigma_{ave}$	$\sigma_{\frac{1}{3}}$	$\sigma_{\frac{1}{10}}$	$\sigma_{\frac{1}{100}}$	$\sigma_{ave}$	$\sigma_{\frac{1}{3}}$	$\sigma_{\frac{1}{10}}$	$\sigma_{\frac{1}{100}}$
180°	20.1	25.9	36.1	36.3	23.0	36.8	36.4	44.6	21.1	27.9	32.9	40.0
135°	18.5	23.1	26.6	31.7	20.0	25.9	30.2	36.5	18.6	23.9	27.8	33.4
90°	16.4	20.0	22.7	26.5	17.3	21.6	24.8	29.4	16.3	20.2	23.0	27.2
45°	12.5	15.0	16.8	19.4	13.1	16.0	18.1	21.2	12.3	15.0	16.9	19.7
0°	12.3	14.6	16.3	18.8	12.8	15.5	17.5	20.4	12.1	14.6	16.4	19.0

표 (III.4.10) 표 (III.4.5)의 Bending Moment 중 Sagging Moment 와

Still Water Bending Moment 를 합한 값에 의한 Stress

( 단위 : kg/mm<sup>2</sup> )

선종 구분 조수각	Bulk Carrier				Container				Log Carrier			
	$\sigma_{ave}$	$\sigma_{\frac{1}{3}}$	$\sigma_{\frac{1}{10}}$	$\sigma_{\frac{1}{100}}$	$\sigma_{ave}$	$\sigma_{\frac{1}{3}}$	$\sigma_{\frac{1}{10}}$	$\sigma_{\frac{1}{100}}$	$\sigma_{ave}$	$\sigma_{\frac{1}{3}}$	$\sigma_{\frac{1}{10}}$	$\sigma_{\frac{1}{100}}$
180°	22.0	36.6	36.1	44.1	25.5	34.6	41.3	51.1	23.4	31.5	37.4	46.1
135°	20.9	27.2	31.8	38.5	22.1	29.3	34.5	46.8	20.6	27.1	31.8	38.6
90°	18.5	23.3	26.9	32.6	19.0	24.3	28.2	33.9	17.8	22.6	26.2	31.3
45°	16.3	17.8	15.8	21.2	14.2	17.3	20.5	24.3	13.4	16.7	19.1	22.5
0°	13.7	16.8	19.1	22.5	13.9	17.3	19.8	23.4	13.1	16.2	18.4	21.7

## IV. 數值計算 結果에 對한 考察

### 1. 船種別 橫搖特性

III章의 表(III.3.1) - (III.3.5)의 船體橫搖값들중 橫搖가 크게 일어나는 조우각 90°의 경우에 對하여만 代表的으로 使用하는 有意橫搖 ( $\phi$ ) $\frac{1}{3}$  과 ( $\phi$ ) $\frac{1}{100}$  을 발췌한 것이 表(IV.1.1)이다. 그리고 表(III.4.6) - (III.4.10)의 應力값들중 역시 代表的으로 使用되는 Significant value 와 (BM) $\frac{1}{100}$  값을 조우각 180° 즉 Head Sea의 경우만 발췌한 것이 表(IV.1.2)이다.

표(IV.1.1) 조우각 90° 때 各海面등급에 대한 有意橫搖 ( $\phi$ ) $\frac{1}{3}$  및 ( $\phi$ ) $\frac{1}{100}$  횡요값 (단위: 도)

해면 등급	선종 구분	Bulk Carrier		Container		Log Carrier	
		( $\phi$ ) $\frac{1}{3}$	( $\phi$ ) $\frac{1}{100}$	( $\phi$ ) $\frac{1}{3}$	( $\phi$ ) $\frac{1}{100}$	( $\phi$ ) $\frac{1}{3}$	( $\phi$ ) $\frac{1}{100}$
5		1.6	2.7	1.4	2.3	0.2	0.4
6		3.0	5.1	2.8	4.7	0.3	0.5
7		8.0	13.3	9.3	15.5	0.4	0.7
8		18.7	31.1	23.5	39.1	0.6	1.0
9		28.5	47.5	36.5	60.9	2.2	3.7

표(IV.1.2) 조우각 180° 때 各海面등급에 대한 有意應力 ( $\sigma$ ) $\frac{1}{3}$  및 ( $\sigma$ ) $\frac{1}{100}$  값 (단위: kg/mm<sup>2</sup>)

해면 등급	선종 구분	Bulk Carrier		Container		Log Carrier	
		( $\sigma$ ) $\frac{1}{3}$	( $\sigma$ ) $\frac{1}{100}$	( $\sigma$ ) $\frac{1}{3}$	( $\sigma$ ) $\frac{1}{100}$	( $\sigma$ ) $\frac{1}{3}$	( $\sigma$ ) $\frac{1}{100}$
5		13.1	15.0	16.2	20.3	14.6	17.9
6		16.1	20.0	20.5	27.5	18.4	24.2
7		20.2	26.9	25.3	35.6	22.8	31.6
8		25.9	36.3	30.8	44.6	27.9	40.0
9		30.6	44.1	34.6	51.1	31.5	46.1

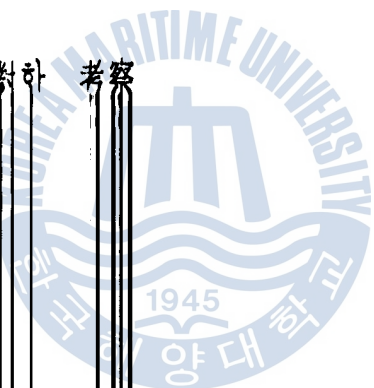
船種 및 船舶의 貨物積載狀態에 따라 多少차이는 있겠으나 一般的으로 船舶의 復原力감소가  $40^{\circ} \sim 50^{\circ}$ 의 橫搖時點에서 일어난다고 볼때에 表(N. 1.1)에서 Bulk Carrier 와 Container는 풍력 9에서 부터 共히 위험범위로 들어간다. 한편 Bulk Carrier는 해상악화에 대하여 횡요증가의 양상이 Container에 비하면 완만하나 Container는 풍력 8~9의 본격적인 악천후가 됨에 따라 급격히 횡요가 커지는 것을 알 수가 있다. 이것은 이 선박들의 基本인 表(III.2.1)을 參照하면 구명할 수 있다. 即 Bulk Carrier의 船幅 ( $30\text{ m}$ )과 船長 ( $223.91\text{ m}$ ), 그리고 GM ( $3.2\text{ m}$ )과 Container의 船幅 ( $23.8\text{ m}$ ), 船長 ( $200.6\text{ m}$ ), GM ( $1.6\text{ m}$ )의 關係에서抽測해 볼 수 있다.

一般的으로 Bulk Carrier는 Container에 比하여 幅長比 ( $L/B$ )가 낮고 Container에 比하여 同等級의 海上狀態에서도 Container보다 횡요는 크나 同等級의 每艘에서는 작다. 그러나 Container는 甲板積의 異선인 경우 GM이 작으면서 주로 重載荷의 海상에서는 하반용이다. 即 고동급으로 하면 청수도 구역이 확장된다. Container는 表에서 볼때 풍력 8~9에서 Bulk의 횡요를 増加하고 있다. 雖然 1987년 航海學會의 『夏季導航備考』나 『冬季導航備考』에 Container에 『横搖 우천조』라고 된 원도 아래와 같이 『冬季導航備考』에 『横搖 우천조』를 정의하고 即 海上狀態가 일정통급이 상호로 慢化되었을 때 Bulk의 船幅이 이전까지의 평균에 비하여 구격한 횡요를 보일 때라고 볼수 있다.

호르, 이 結果는 Bulk Carrier의 構造는 海象이 아무리 慢化되어도 橫搖을 기록하지 않는 基本은 되었다. 이점은 實務의 經驗과 正確히一致한다. 그러나 여기에서 求한 橫搖값들은 제일 크게 計算한 것이 ( $\phi$ )<sub>100</sub>

로서 횡요를 100회 觀測했을때 그중에서 가장 큰값이라는 意味밖에 없다. 즉, Most Probable Largest Value인  $(\phi)_{\frac{1}{100}}$ 이나  $(\phi)_{\frac{1}{10000}}$ 를 구한다면 풍력 9에서도  $(\phi)_{\frac{1}{100}}$ 인 60.9도 보다 훨씬 더큰 횡요가 나올수도 있다. 卽, 原木船은 풍력 8 또는 9라 하더라도 GM이 일반적으로 작아서 횡요주기가 길고 횡요도 잘하지 않는다는 의미도 있지만 횡요를 하기 시작하여  $(\phi)_{\frac{1}{100}}$ ,  $(\phi)_{\frac{1}{10000}}$ 을 측정할 수 있게 된다면 그때에는 치명적이 고도 급작스러운 대작도 경사가 꽤 한번은 생길수도 있다는 잠재적인 위험성을 갖고 있는 것이다.

2 船種別 風力에 對하 考察



船種 및 船舶의 貨物積載狀態에 따라 多少차이는 있겠으나 一般的으로 船舶의 復原力감소가  $40^{\circ} \sim 50^{\circ}$ 의 橫搖時點에서 일어난다고 볼때에 表(IV. 1.1)에서 Bulk Carrier 와 Container는 풍력 9에서부터 共히 위험범위 밖으로 들어간다. 한편 Bulk Carrier는 해상악화에 대하여 횡요증가의 양상이 Container에 비하면 원만하나 Container는 풍력 8~9의 본격적인 악천후가 됨에 따라 급격히 횡요가 커지는 것을 알 수가 있다. 이것은 이 선박들의 跡元인 表(III.2.1)을 參照하면 구명할 수 있다. 即 Bulk Carrier의 船幅(32 m)과 船長(223.91 m), 그리고 GM(3.2 m)과 Container의 船幅(23.8 m), 船長(200.6 m), GM(1.6 m)의 關係에서抽測해 볼 수 있다.

一般的으로 Bulk Carrier는 Container에 比하여 幅長比(L/B)가 낮고因而 고로로 抵等級와 的七級態에서도 Container보다 횡요는 크나 同等級의 每象에서는 작다. 그러나 Container는 甲板積의 並선인 경우 GM이 짧으로 長冲浪과 長波에서는 반응이 적으나 고동급으로 하면 짧수록 급격히 커진다. 즉 Container는 表에서 볼때 풍력 8~9에서 Bulk의 횡요를 超越 總算하고 있다. 然而 1987년 航海學會의 “夏季季節解미나 해상 氣候, 流量, 航法等 Container에 關한 調査” 결과원인도 이러한 바탕으로 “本來抗御 亂流場의 作用을 具有하니 即 海上狀況과 일정등급이 성소로 態度가 다른 Container船은 이전까지의 橫요에 비하여 급격한 橫요증가를 呈现하고 有함이다.”고 볼수 있다.

즉, 이 차례에 Log Carrier의 橫요는 每象이 아무리 惡化되어도 橫搖을 기록 하지 않는 것으로 보일 때 이점은 實務의 經驗과 正確히一致한다. 그러나 여기에서 求한 橫搖값들은 제일 크게 計算한 것이 ( $\phi$ )<sub>100</sub>

로서 횡요를 100회 관측했을 때 그중에서 가장 큰값이라는 意味밖에 없다. 즉, Most Probable Largest Value인  $(\phi)_{100}$ 이나  $(\phi)_{1000}$ 를 구한다면 풍력 9에서도  $(\phi)_{100}$ 인 60.9도 보다 훨씬 더큰 횡요가 나올수도 있다. 即, 原木船은 풍력 8 또는 9라 하더라도 GM이 일반적으로 작아서 횡요주기가 길고 횡요도 잘하지 않는다는 의미도 있지만 횡요를 하기 시작하여  $(\phi)_{100}$ ,  $(\phi)_{1000}$ 을 측정할 수 있게 된다면 그때에는 치명적이고도 급작스러운 대작도 경사가 꽤 한번은 생길수도 있다는 잠재적인 위험성을 갖고 있는 것이다.

## 2. 船種別 應力에 對한 考察

造船用 強材에 對한 IACS의 船體強度基準은 항복점 (Yielding point) 이  $23 kg/mm^2$ 이며 극한강도 (Ultimate Strength)는  $41 kg/mm^2$ 이다. 따라서 強材의 變形이 일어나기 시작하는 항복점을 초과하는 범위는 表 (IV.1.2) 의 굵은선 아랫부분이 된다. 이에 의하면 Bulk Carrier, Container, Log Carrier는 각자 風力 7, 6, 6에서부터 그한계를 넘어서기 시작하고 있다. 이것은 橫搖의 경우와 比較해 볼때에 좋은 대조를 보이고 있다. 즉, 橫搖는 船舶別로 高等級의 風力 그는 海面에서도 서로 差異가 많으나 應力은 全等級에서 比較的 차이가 작으며 위험한계에 들어 가기 시작하는 等級이 橫搖의 경우보다 2~3等級 낮다. 즉 大型船은 惡天候가 發生時에 전복보다는 過大應力에 依한 切損의 위험이 더 많다는 사실이 옳음을 시사하는 것이며 또 操船方法에 따라 時期的으로 먼저 올수도 있다 는 것을 알려주는 것이다.

## V. 結 論

1. 大型船이 荒天航海時는 전복의 위험보다 船體切損의 위험이 먼저온다.
2. Container 및 Log Carrier는 Beaufort Scale에 의한 풍력 6, Bulk Carrier는 풍력 7에서부터 可能한한 Head-sea를 피한다.
3. 一般的으로 大型船은 風力 7~8에서는 반드시 Heave-to를 해야 한다.
4. 풍력이 9이상일 때에는 一般的으로 大型船은 Quartering-sea 또는 Scudding의 상태가 되도록 補體해야 한다.
5. 一般的으로 補長比가 큰 Container船은 海象이 惡化됨에 따라 他船船에 比하여 일찍 危險應力範圍에 들어가며 荒天이 심해지면 他船船에 先하여 급격히 큰 회요를 보인다.
6. 原木船은 滿載時에는 어떠한 海象에서도 橫搖가 사고, 그週期도 짧아서 위험성을 노끼기는 어려우나 일단 대각도 경사가 있으면 기타의 船舶과는 比較가 되지 않을 過大한 橫搖로 치명적인 위험을 줄 可能性이 발생하므로 가장 留意해야 한다.

以上의 내용은 實務에서 어느程度 判斷할 수 있는 것이겠으나 本研究에서는 그 經驗을 理論적으로 充明하는데 目的은 둔 것이다. 그러나 Bulk carrier, Container 및 Log Carrier의 船體의 對하여 오직 한隻의 船에 標准을 두고서 航模을 通过하는 船種에 對해 여러隻의 船체를 多방적 관점으로 分析하여 그의 精密하고 一般化的 研究가 進後에 있어 이에 貢獻하는

## 參　考　文　獻

1. 尹點東, 巨大型船 操船論, 亞成出版社, 釜山, pp. 82 ~ 98.
2. 尹點東, 船舶運用의 理論과 實務, 第一文化社, 釜山, pp. 166 ~ 185.
3. Rameswar Bhattacharrya, Dynamics of Marine Vehicles, John Wiley & Sons Co., New York, pp. 30 ~ 34, pp. 75 ~ 95, pp. 101 ~ 136, pp. 171 ~ 182, pp. 365 ~ 368.
4. 任尚 譯, 美國造船學會 編, 基本造船學(下), 大韓教科書株式會社, 서울, pp. 954 ~ 969.
5. 元良誠三 監修, 船體と 海洋構造物の 運動學, 成山堂書店, 東京, pp. 189 ~ 192
6. 尹點東, 北太平洋에서의 冬季航行安全에 關한 研究, 港都印刷出版社, 釜山, pp. 45 ~ 62.
7. 田中一雅, 鑽石運搬船の 船首底衝擊に よる過度 振動曲げ モーメントと 波浪曲げ モーメント から 見た 可航限界に ついて, 日本航海學會 論文集, pp. 137 ~ 143, 1982.
8. 日本海技協會, 船長の 運航技術管理, 成山堂, 東京, pp. 1 ~ 14, 1985.
9. Stephen pond, Introductory Dynamic Oceanography, william clowes & Sons., London, pp. 119 ~ 123, 1978.
10. 田中一雅, 船體 縱強度に おける 耐航性に ついて - 北太平洋 波浪 データに よる検討, 日本航海學誌 第 88 號, pp. 41 ~ 47, 1987.